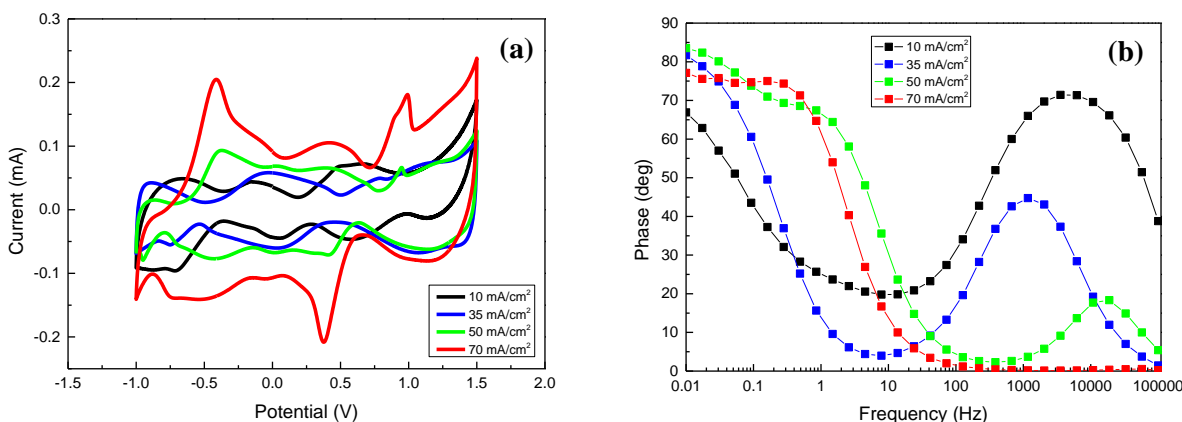


## **Rezultate 2019**

In ultima etapa s-au testat si alte variante de modificare a electrozilor pe baza de siliciu poros. Astfel, s-a utilizat un nou derivat al naftalinei pastrand ca metoda de depunere pe cea la curent constant de 1 mA, pentru 120 s. In plus s-a investigat si influenta modificarii matricei poroase (dimensiune pori, adancime strat poros) asupra mecanismelor si capacitatii de stocare de sarcina prin utilizarea unor densitati diferite de curenti de anodizare pentru corodarea electrochimica a substratului de Si.

Astfel, au fost asamblati supercapacitorii din electrozi de siliciu puternic dopat, porozificati prin anodizare la 4 densitati diferite de curenti,  $10 \text{ mA/cm}^2$ ,  $35 \text{ mA/cm}^2$ ,  $50 \text{ mA/cm}^2$  si  $70 \text{ mA/cm}^2$ , obtinand in final 4 tipuri de electrozi pentru electropolimerizare/carbonizare. Dupa depunerea electrochimica a polimerului, fiecare tip de electrod a fost tratat termic in atmosfera de  $\text{N}_2$  la  $800^\circ \text{C}$  timp de 4h, urmand ca in final sa fie asamblati in configuratii simetrice de tip supercapacitor impreuna cu electrolitul PVA/ $\text{H}_2\text{SO}_4$ .

Performantele fiecarui supercapacitor in parte au fost evaluate prin metode clasice de electrochimie, respective voltametrie ciclica, spectroscopie de impedanta si cicluri de incarcare-descarcare. In figura 1 sunt prezentate comparativ voltamogrammele obtinute la viteza de scanare de  $50 \text{ mV/s}$  si diagramele Bode in faza pentru supercapacitorii realizati utilizand cele 4 tipuri de electrozi.



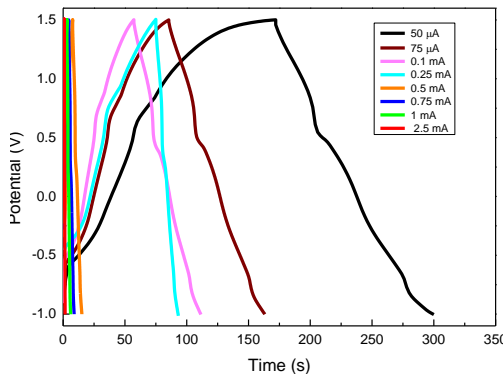
**Figura 1.** Curbe de voltametrie ciclica obtinute la viteza de scanare de  $50 \text{ mV/s}$  (a) si diagramele Bode in faza (b) pentru supercapacitorii realizati utilizand cele 4 tipuri de substraturi de siliciu poros ca electrozi.

Se observa ca utilizarea noului compus a condus in primul rand la marirea semnificativa a ferestrei de potential, de la  $2.1 \text{ V}$  in primul caz la  $2.5 \text{ V}$  in acest caz. In al doilea rand, marirea curentului de anodizare a condus la definirea unui numar mai mare de canele ionice prin care electrolitul are acces la materialul carbonic activ si implicit la cresterea semnificativa a capacitati specifice. Din profilurile de voltametrie ciclica inregistrate la rata de  $50 \text{ mV/s}$  se poate observa o contributie atat a stratului double-layer, cat si a reactiilor redox la curentul total. Punctele de maxim in current au loc la aproximativ aceleasi valori ale tensiunii pentru toti electrozii, indicand aceleasi substante active responsabile pentru componenta pseudocapacitiva a dispozitivului. Cel mai mare curent redox este dat de supercapacitorul asamblat din electrozii porozificati la densitatea de curent de  $70 \text{ mA/cm}^2$ , valoarea curentului comparata cu valorile date de ceilalți supercapacitori aratand ca polimerul s-a depus cel mai bine pe electrodul de  $70 \text{ mA/cm}^2$ .

Spectroscopia de impedanta presupune aplicarea unui semnal de tensiune alternativa cu amplitudinea de  $10 \text{ mV}$ , in intervalul de frecvente  $10 \text{ mHz} - 100 \text{ kHz}$ . In figura 2 (b) este reprezentata grafic diferența de fază in functie de frecventa. La frecvente mari, comportamentul dispozitivului este unul predominant rezistiv, unde au loc procese de transfer de sarcina si capacitatii care apar la interfete. La frecvente mici,

diferenta de faza se apropie de  $90^\circ$ , cee ace indica un comportament predominant capacitive, unde fenomenele de stocare a sarcinii au loc.

In figura 2 sunt prezentate curbele de incarcare-descarcare, inregistrate intre -1V si 1.5V la diferite valori de current constant.



**Figura 2.** Curbe de incarcare-descarcare obtinute pentru supercapacitorul realizat utilizand electrozi de siliciu poros obtinuti prin corodare la  $70 \text{ mA/cm}^2$ .

Cele doua comportamente, *double layer* si *pseudocapacitive*, care participa la stocarea sarcinii se observa si in aceste masuratori. Contributia compusilor activi redox e evidenta din cauza abaterii profilului de incarcare-descarcare de la forma triunghiulara pe care ar avea daca ar fi fost present numai mecanismul de stocare de tip *double layer*.

Aceste rezultate au fost raportate intr-un articol stiintific care va fi trimis spre publicare in *Journal of Power Sources*.

O atentie speciala a fost acordata si influentei stresului asupra proprietatilor electrozilor nanostructurati si in acest sens s-a realizat un studiu complex pe baza masuratorilor de raze X care s-a concretizat si cu o noua metoda de profilare a stresului si a densitatii de dislocatii. Astfel, a fost dezvoltat un formalism de raze X, ce ne permite sa abordam problema stresului intr-un mod nedistructiv in nanofibre, prin studiul individual a inclinarii, torsiorii si a efectelor dislocațiilor în difractograme.

Aceste rezultate au fost raportate in urmatorul articol stiintific:

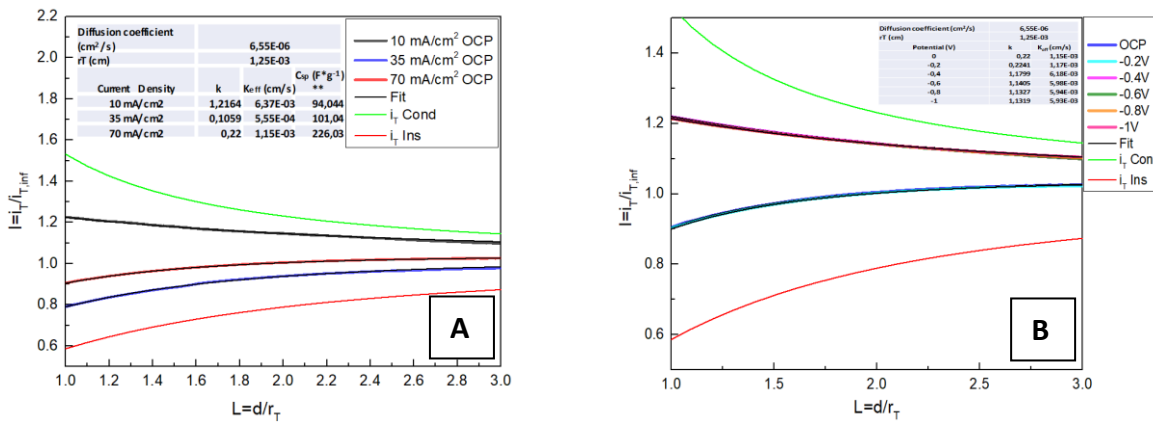
*"Unravelling the strain relaxation processes in silicon nanowire arrays by X-ray diffraction"*, Cosmin Romanitan\*, Mihaela Kusko, Marian Popescu, Pericle Varasteanu, Antonio Radoi, Cristina Pachiu, **Journal of Applied Crystallography**, 06 September 2019.

Rezultate remarcabile au fost obtinute prin analize de microscopie de scanare electrochimica (SECM), care au permis o inteleger profunda a mecanismelor de stocare de sarcina. Aceasta tehnica este foarte eficienta pentru studiul localizat al cineticii la nivelul interfetei electrod/electrolit in electrozi de tip supercapacitor. S-a urmarit modul in care morfologia stratului de siliciu poros, care constituie de fapt substratul electrozilor supercapacitorilor test influenteaza ratele de transfer de electroni, determinate direct sub forma de constante de reactive. Astfel, patru electrozi de p-Si poros au fost obtinuti prin corodare electrochimica in solutie de HF:EtOH = 1:1 (v/v), utilizand diferite densitati de current, si anume 10, 35, 50 si 70  $\text{mA/cm}^2$ , care au condus la straturi cu dimensiuni medii de pori variind de la 7 la 10 nm (procesul de grafitizare a fost identic pentru toti).

Experimente SECM au fost realizate utilizand un echipament HEKA ElProScan ELP-1 intr-o configuratie cu patru electrozi: un ultramicroelectrod de Pt ( $r_T = 12.5 \mu\text{m}$ ,  $\text{RG} = r_{\text{Glass}}/r_T = 3$ ) ca electrod de lucru, contra-electrod de Pt, electrodul de referinta este de tip Ag/AgCl, iar electrozii de p-Si poros, atat nemodificati, cat si cu polimer grafitizat depus, au servit drept cel de-al patrulea electrod de lucru. Mediatorul redox utilizat a fost Ferocenmetanol 2mM dizolvat in solutie apoasa de electrolit 0.1 M KCl.

Urmatoarele experimente au fost realizate:

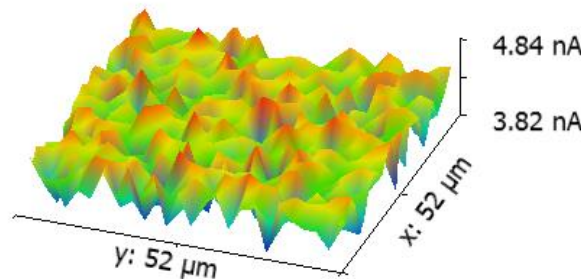
- masurarea curbelor de apropiere in regim de feedback (fara polarizarea celui de-al patrulea electrod)
- masurarea curbelor de apropiere in regim de generare/colectare (cu polarizarea electrozilor de p-Si in intervalul -0.2 V: -1 V)



**Figura 3. A:** Curbe de apropiere pentru electrozii de p-Si modificati cu polimer organic depus si grafitizat (inset – constantele de reactie de transfer de sarcina);

**B:** Curbe de apropiere pentru electrodul de  $70 \text{ mA}/\text{cm}^2$  polarizat la diferite tensiuni in configuratia cu patru electrozi a echipamentului (inset – constantele de reactie de transfer de sarcina)

Un pas mai departe a constat in inregistrarea hartilor de curent 3D pentru evidențierea centrilor reactivi (atât cu polarizare cat și fără, la tensiunea de circuit deschis). În figura 4 este prezentată harta electroactivitatii electrodului obtinut la  $70 \text{ mA}/\text{cm}^2$ .



**Figura 4.** Harta 3D de curenti de scanare in care se pot observa diferente in valori ale curentului date de reactivitatea diverselor grupari prezente pe suprafata electrodului.

Aceste rezultate preliminare ofera o imagine detaliata a proceselor electrochimice care se produc la interfata dintre electrod/electrolit si sunt complementare celor la scara macroscopica (utilizand electrozi de dimensiuni mai mari de  $100 \mu\text{m}$ ).

Ele vor fi parte a unui articol stiintific aflat in elaborare.